

مشخصه یابی و بررسی خواص مغناطیسی و رئولوژی نانوذرات مگنتیت (Fe_3O_4) سنتز شده تحت گاز N_2 در دمای اتاق

محمد رضا تحریریⁱ؛ سید محمد عتری خسروشاهیⁱⁱ

چکیده

در این مقاله سنتز نانوذرات مغناطیسی مگنتیت (Fe_3O_4) با توزیع یکنواخت به روش هم رسوی شیمیایی در دمای اتاق تحت عبور گاز N_2 انجام شد. پودرهای سنتز شده به وسیله میکروسکوپ الکترونی روشنی (SEM)، میکروسکوپ الکترونی عبوری (TEM)، طیف سنجی فروسرخ (FTIR)، پراش اشعه ایکس (XRD)، دستگاه مغناطش سنج ارتعاشی (VSM)، آنالیز همزمان حرارتی (STA) و آنالیز اندازه کیری سطح ویژه (BET) مورد بررسی و شناسایی قرار گرفت. با توجه به نتایج به دست آمده کوچکترین ذرات با اندازه ۳۵ nm با استفاده از ۰/۹ M NaOH در دور ۷۵۰ rpm سنتز شد. آنالیز مغناطیسی VSM به ترتیب یک مغناطیس اشباع در محدوده ۸۲-۹۶ emu/g و یک واکنشگی در محدوده ۱۱۹-۸۳ Oe برای ذرات با اندازه های ۳۵-۹۶ nm نشان داد. همچنین بیشترین میزان سطح ویژه $41 m^2/g$ با استفاده از ۰/۹ M NaOH در دور ۷۵۰ rpm و کمترین مقدار $15 m^2/g$ با استفاده از ۱/۵ M NaOH در دور ۴۵۰ rpm از طریق آنالیز BET به دست آمد و در پایان خواص رئولوژی نانوذرات مگنتیت بررسی شد، که نتایج حاکی از رفتار Shear thinning سیال های حاوی این نانوذرات می باشد.

کلمات کلیدی : نانوذرات مگنتیت، سنتز، خواص مغناطیسی، خواص رئولوژی، هم رسوی

Characterization and Evaluation of Magnetic and Rheological Properties of Magnetite (Fe_3O_4) Nanoparticles Synthesized under N_2 Gas at Room Temperature

M. Tahriri; M. E. Khosroshahi

ABSTRACT

In this study, magnetic (Fe_3O_4) nanoparticles were prepared by controlled chemical co-precipitation technique in alkine medium under N_2 gas at room temperature. The obtained powders were characterized by the commonly used bulk techniques of scanning electron microscopy (SEM), transmission electron microscopy (TEM), Fourier transform infra-red (FTIR), X-ray diffraction (XRD), simultaneously analysis (STA), vibrating sample magnetometer (VSM) and BET analyses. Also the effect of some parameters on the size of Fe_3O_4 nanoparticles, such as stirring rate and concentration of NaOH was studied. The results indicated that smaller particles can be synthesized by increasing the stirring rate and decreasing the NaOH concentration, which in current case this corresponded to 35 nm using 0.9 M NaOH at 750 rpm. The VSM analysis showed a saturation magnetization range of (82-96 emu/g) and coercivity of (83-119 Oe) for particles between (35-96 nm), respectively. In addition, the highest specific area of $41 m^2/g$ was obtained at 0.9 M NaOH at 750 rpm and the smallest value of $15 m^2/g$ at 1.5 M of NaOH at 450 rpm using BET analysis. Eventually, the rheological properties of magnetite nanoparticles were examined and the results showed that nano-ferrofluid containing magnetite had a shear thinning behaviour.

KEYWORDS : Magnetite nanoparticles, Synthesis, Rheological properties, Coprecipitation

ⁱ دانشجوی دکتری دانشگاه صنعتی امیرکبیر، دانشکده مهندسی پزشکی - بیومتریال: m-tahriri@aut.ac.ir

ⁱⁱ دانشیار دانشگاه صنعتی امیرکبیر، دانشکده مهندسی پزشکی - بیومتریال: khosro@aut.ac.ir

۱- مقدمه

مراحل عملی دارد. با این وجود استفاده عملی از ترکیبات Fe_3O_4 فقط به استفاده از آنها به عنوان عوامل‌های مورد استفاده در تصویربرداری MRI منحصر می‌شود. این عوامل‌ها با تغییر در آهنگ همجهت شدن پروتون‌های آب با میدان مغناطیسی اعمال شده (این میدان از طریق پالس‌هایی با فرکانس رادیویی RF ایجاد می‌گردد) به فرآیند تصویربرداری کمک می‌کنند [۱۴]. این عوامل اگر ذرات مجزای بزرگتر از ۵۰ نانومتر باشند، به صورت اکسیدهای آهن ابرپارامغناطیس رفتار می‌کنند و اگر دارای قطری کوچکتر از ۵۰ نانومتر باشند، ذرات اکسید آهن ابرپارامغناطیس فوق ریز هستند (USPIO). عوامل SPIO بیشتر در تصویربرداری ارگان‌های وابسته به سیستم‌های رتیکولواندوتیال استفاده می‌شوند؛ در حالی که عوامل‌های کوچکتر (USPIO) به خاطر تعامل به جمع شدن در گره‌های لنفاوی، برای تصویربرداری سیستم‌های لنفاوی مناسب هستند. با این وجود می‌توان گفت که ذرات اکسید آهن می‌توانند توانایی تصویربرداری بر پایه MR در سیستم‌های سلولی را توسعه دهند. این کاربرد عملی تازه، حوزه کاربرد ابزارهای MRI در تصویربرداری‌های پیشرفته از رفتارهای سلولی را توسعه می‌دهد [۱۵، ۱۶]. در این مطالعه، ذرات مگنتیت با استفاده از روش رسوب شیمیایی سنتز شد. در این فرآیند، از اتمسفر نیتروژن خشک برای محافظت نمک‌های آهن از اکسیداسیون استفاده شد. همچنین از پلی ونیل الک (PVA) که ریست سازگاری خوبی دارد به عنوان پایدارکننده استفاده شد پس از سنتز، مشخصه‌یابی ذرات مگنتیت توسط روش‌های مختلف انجام شد.

۲- مواد و روش آزمایش

مواد مورد استفاده برای سنتز نانوذرات مگنتیت در جدول (۱) آمده است.

جدول (۱) مواد مورد استفاده در فرایند سنتز نانوذرات مگنتیت

کد	فرمول شیمیایی	ماده
Merck (103943)	FeCl3.6H2O (99%)	کلریک فریک ۶ آبه
Merck (103861)	FeCl2.4H2O (99%)	کلرید فروس ۴ آبه
Merck (106498)	NaOH (99%)	هیدروکسید سدیم
Merck (100317)	HCl (37%)	اسید کلریدریک

یک محلول شامل ۱/۲۸ مولار کلریک فریک ۶ آبه و ۰/۶۴ مولار کلرید فروس ۴ آبه و ۰/۴ مولار اسید کلریدریک به عنوان منبع آهن به وسیله حل کردن مواد یاد شده در جدول (۱) در آب دوبار تقطیر شده تحت هم زدن قوی بر روی همزن

با توجه به خواص مزوسکوپی فیزیکی، حرارتی و مکانیکی، نانوذرات ابرپارامغناطیس یک پتانسیل بزرگ برای کاربردهای مختلفی در زمینه‌های گوناگون از قبیل فروپیال‌ها، تصویربرداری رنگی، تبرید مغناطیسی، سمیت زدایی از سیالهای بیولوژیکی، انتقال داروهای ضد سرطان از طریق انتقال کنترل شده مغناطیسی، افزایش تباین در روش تصویربرداری رزونانس مغناطیسی (MRI) و جدایش سلولهای مغناطیسی از خود نشان می‌دهد [۱-۵].

تا امروز اکسید آهن به دلیل پایداری شیمیایی و تطبیق‌پذیری بیولوژیکی و نیز فرایند تولید ساده نانوذرات مگنتیت (Fe_3O_4) پژوهشی بیشترین توجه را به خود جلب کرده است [۶-۸]. مخلوطهایی از این دو نانوذره را می‌توان از طریق رسوب‌دهی آلکالاین‌ها از نمک‌های یون‌های آهن (Fe^{2+}, Fe^{3+}) طی یک فرایند تکمرحله‌ای سنتز کرد. این فرایند بیشتر در یک محلول آبی از ماکرومولکولهای خاص انجام می‌گیرد. ماکرومولکول‌ها؛ فرایند رشد هسته‌های ذرات مغناطیسی را از طریق ایجاد پوششی که قابلیت کنترل پراکندگی و به هم چسبیدن ذرات را دارد، کنترل می‌کنند. آزمون‌های عملی نشان می‌دهد که بازیابی ترکیبات اکسید آهن از چنین مخلوطهایی به طور طبیعی و منظم امکان پذیر است [۹-۱۰]. ترکیبات بدن انسان از قبیل پروتئین‌ها، فریتین‌ها، هموسیدرین‌ها، ترانسفیرین و هموگلوبین دارای سه تا چهار گرم آهن می‌باشند. هنگامی که نانوذرات مغناطیسی درون بدن، شروع به تجزیه شدن می‌کنند آهن‌های قابل حل وارد مخازن آهن موجود در بدن شده و در آنجا میزان آهن را تنظیم می‌کنند. دوزهای پژوهشی برای بدن احتمالاً از چند میلی‌گرم کمتر است، این در حالی است که احتمال بالاتر بودن این دوز از این حد تقریباً محال می‌نماید. ذرات نانومتری Fe_3O_4 در دمای اتفاق رفتاری ابرپارامغناطیسی (SPIO) از خود نشان می‌دهند. به عبارت دیگر، آنها تحت یک میدان مغناطیسی تا حد زیادی مغناطیسیده می‌شوند که این مغناطش دائمی نیست و با حذف میدان از بین می‌رود [۱۰-۱۲]. به کمک این رفتار مغناطیسی نانوذرات اکسید آهن از طریق حمل عوامل‌های درمانی و تحت اعمال یک میدان مغناطیسی می‌توانند توانایی دارورسانی را بدون انحراف مسیر در بدن اصلاح کنند. سوئیچ on/off در این سیستم به معنای دور بودن احتمال چسبیدن ذرات به یکی‌گر در حین فرایند ساخت بوده و یا اینکه این ذرات پس از حذف میدان مغناطیسی به راحتی قابل پراکندگی باشند [۱۳]. استفاده از نانوذرات مغناطیسی که می‌توانند به دارورسانی کمک کنند، هنوز فاصله زیادی تا

Sinterz شده، از دستگاه آنالیز حرارتی همزمان Polymer Laboratories PL-STA 1640 C/min با سرعت گرمایش $10^{\circ}\text{C}/\text{min}$ از دمای اتاق تا 1200°C در بوته‌های آلومینیمی حرارت داده شدند. برای بررسی ویژگی‌های مغناطیسی نانوپودرهای سinterz شده از دستگاه مغناطش سنج ارتعاشی (VSM-PAR 155) با حساسیت 10^{-3} emu و شدت میدان مغناطیسی (H) تا 20 KOe استفاده شد. خصوصیات مغناطیسی نمونه‌ها از قبیل وادرانگی (saturation magnetization)، مغناطش اشباع (coercivity) در دمای اتاق (300°K) اندازه‌گیری شد. بررسی رئولوژی توسط دستگاه رئومتر مدل MCR300 که مجهز به یک سیستم اعمال میدان مغناطیسی تا یک تسلا بود، انجام گرفت. تعیین سطح BET ویژه نانوذرات از روش BET توسط دستگاه Quantasorb انجام شد.

۴- نتایج و بحث

سازوکار تشکیل مگنتیت سinterz شده با استفاده از روش شیمیایی تر بدین صورت است که به طور رایج مگنتیت با افزودن باز به یک مخلوط آبی از کلریدهای Fe^{2+} و Fe^{3+} در نسبت‌های $2:1$ مولی به دست می‌آید. مگنتیت حاصل رنگ سیاه دارد. واکنش شیمیایی رسوب Fe_3O_4 در شکل (۱) آورده شده است. کل واکنش را می‌توان به صورت واکنش (۱) نوشت:

$$\text{Fe}^{2+} + \text{Fe}^{2+} + 8\text{OH}^- \rightarrow \text{Fe}_3\text{O}_4 + 4\text{H}_2\text{O} \quad (1)$$

بر اساس ترمودینامیک‌های این واکنش، در محدوده pH بین ۹ تا 14 با رعایت نسبت $1:2$ و تحت شرایط غیراکسیدی اکسیژن هوای آزاد، می‌توان رسوب کاملی از Fe_3O_4 را انتظار داشت. در غیر این صورت Fe_3O_4 می‌تواند طبق واکنش (۲) اکسید شود:

$$\text{Fe}_3\text{O}_4 + 0.25\text{O}_2 + 4.5\text{H}_2\text{O} \rightarrow 3\text{Fe}(\text{OH})_3 \quad (2)$$

برای کنترل سینتیک‌های واکنش که خیلی زیاد به اکسیداسیون ذرات اکسید آهن بستگی دارد، سinterz ذرات باید با عبور دادن گاز N_2 در محیط عاری از اکسیژن انجام شود.



شکل (۱) شماتیک نمایش مکانیسم تشکیل ذرات مگنتیت از یک محلول آبی کلریدهای آهن فرو و فریک با افزودن یک باز

مغناطیسی تهیه گردید. در همین راستا هیدروکسید سدیم با علاوه‌های $0.1-0.5\text{ M}$ مولار به عنوان منبع قلیایی آماده گردید. 250 ml از منبع آهن به صورت قطره‌های به 250 rpm منبع قلیایی بر روی همزن مغناطیسی با دورهای 750 rpm و 450 rpm اضافه گردید و عمل هم زدن به مدت 30 دقیقه به طول انجامید. در جدول (۲) میزان غلظت NaOH برای نمونه‌های مختلف سinterz آورده شده است.

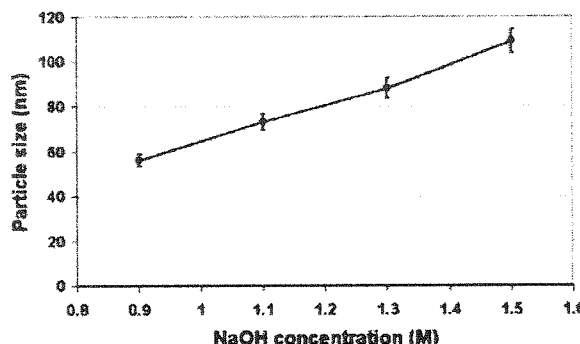
جدول (۲) غلظت هیدروکسید سدیم برای نمونه‌های سinterz شده

نمونه‌ها	rpm	pH	$\text{NaOH} (\text{M})$
S1	۴۵۰ و ۷۵۰	۹	۰/۹
S2	۴۵۰ و ۷۵۰	۹	۱/۱
S3	۴۵۰ و ۷۵۰	۹	۱/۷
S4	۴۵۰ و ۷۵۰	۹	۱/۵

پودر حاصل به وسیله اعمال یک میدان مغناطیسی خارجی (آهنربا) از محلول مجذأ شده و مایع فوکانی نیز با بیرون ریختن آن از پودر رسوبی جدا گردید. سپس پودر حاصل با آب مقطر دوبار تقطیر شده شستشو داده شد و به مدت 15 min در دستگاه سانتریفیوژ قرار گرفت. فرایند شستشو و سانتریفیوژ دو بار صورت گرفت. در پایان نمونه‌ها وارد خشک-کن انجامدی شدند تا پودر حاصل مشکی رنگ به صورت جامد به دست آید. پس از خشک کردن، نمونه‌ها به مدت 30 ساعت در دمای 200°C قرار داده شد تا آنلیل گردند و همچنین بلورینگی آنها بهبود یابد.

۳- مشخصه یابی پودرهای

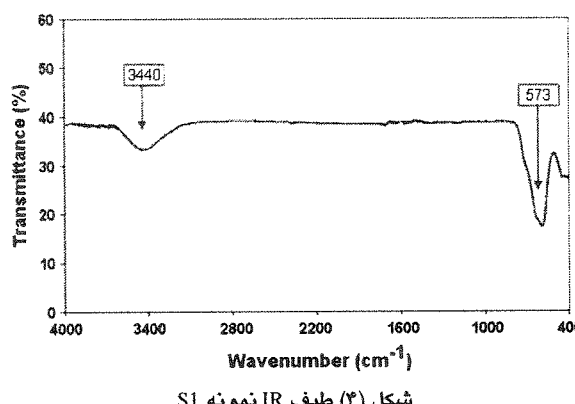
به منظور شناسایی فاز مگنتیت (Fe_3O_4) پودرهای FTIR پراش پرتوی ایکس (XRD) و طیف سنجی فروسرخ (FTIR) مورد آنالیز قرار گرفتند. برای مطالعات طیف سنجی فروسرخ از دستگاه FTIR مدل BOMEM-MB100 از دستگاه آلمان در محدوده عدد موج $4000-400 \text{ cm}^{-1}$ در حالت عبوری استفاده شد. الگوهای پراش پرتو ایکس با دستگاه پراش پرتو ایکس Siemens تحت ولتاژ 30 kV و جریان 25 mA صورت گرفت. در تمام آزمایش‌ها از اشعه ایکس Cu-Kα با طول موج 1.540 \AA استفاده شد. زمان اقامت در هر کام یک ثانیه، اندازه کام 0.2° درجه و محدوده روشن بین 10 تا 70 درجه انتخاب گردید. همچنین اندازه متوجه دانه‌ها توسط روش XRD با استفاده از فرمول شر محاسبه شد. برای بررسی مورفوولوژی ذرات پودر از میکروسکوپ الکترونی عبوری CM200-FEG- Philips و میکروسکوپ الکترونی رو بشی Tescan Vega 2XMU استفاده شد. به منظور بررسی رفتار حرارتی ترکیبات



شکل (۳) میزان تغییرات اندازه ذرات مگنتیت بر حسب میزان 450 rpm در دور NaOH

همانطور که پیشتر توضیح داده شد با افزایش میزان NaOH در فرآیند سنتز، اندازه ذرات نمونه‌ها افزایش پیدا می‌کند.

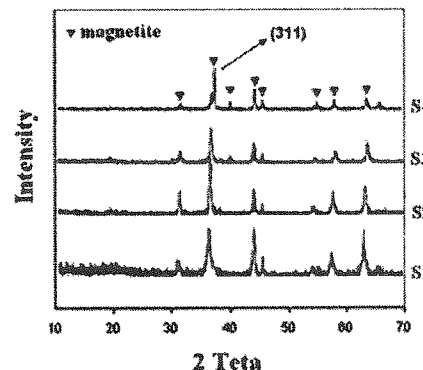
طیف IR نمونه S1 با مد عبوری در شکل (۴) نشان داده شده است. همان طور که ملاحظه می‌شود طیف IR مربوط به نمونه S1 (Fe_3O_4) طیف ساده می‌باشد که در آن دو باند جذبی دیده می‌شود. اولین باند جذبی در محدوده عدد موج 2440 cm^{-1} می‌باشد که ناشی از ارتعاش کششی قوی ناشی از پیوند هیدروژنی ایجاد شده توسط گروههای هیدروکسیل (OH) است که توسط نمونه از محیط جذب شده است. دومین باند جذبی در محدوده عدد موج 573 cm^{-1} دیده می‌شود، ناشی از باند ارتعاشی $\text{Fe}-\text{O}$ موجود در Fe_3O_4 است. شایان ذکر است که آنالیز FTIR نیز وجود مگنتیت را در نمونه‌ها تایید می‌کند.



شکل (۴) طیف IR نمونه S1

شکل (۵) تصاویر مربوط به SEM نمونه‌های سنتز شده در دور 450 rpm را نشان می‌دهد.

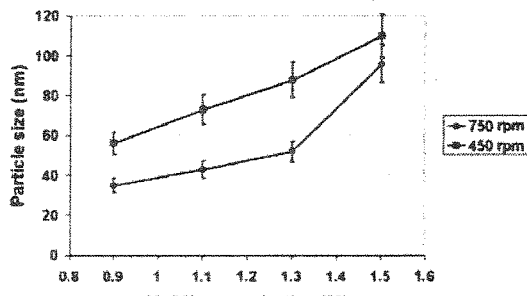
پیدایش ذرات در محلول تحت شرایط بهینه از طریق تشکیل یک لایه نازک بلورین در یک محیط فوق اشباع انجام و سپس با رشد بلورها ادامه پیدا می‌کند. فرآیند بعدی با انتقال جرم و با تعادل افزوده شدن و خروج مونومرهای اولیه در سطح یعنی اتمها، مولکول‌ها و یون‌ها کنترل می‌شود. به این ترتیب نیروی محرك برای خروج مونومر (انحلال) با کاهش اندازه ذره کاهش پیدا می‌کند. به عبارت دیگر ذرات درشت به خرج ذرات ریز رشد می‌کنند. این سازوکار آسوالد ریپنینگ (Ostwald ripening) نامیده می‌شود و در حالت کل راه اصلی رشد بلور می‌باشد. الگوهی پراش اشعه X برای نمونه‌های پودری S1-S4 نشان داده است. این الگوها نشان می‌دهند که فاز غالب در تمام نمونه‌ها است. البته گفتنی است که الگوهای فازهای مگهیمیت و مگنتیت بسیار شبیه به هم می‌باشند و تمایز آنها تنها با روش XRD از هم بسیار مشکل است. این نتیجه در برخی مراجع هم مورد تأکید قرار گرفته است [۲۱-۲۲]. نکته قابل توجه دیگر آن است که با توجه به شکل ۲، با پیش روی از نمونه S1 به سمت نمونه S4 با میزان 450 rpm در فرآیند سنتز، پهنای قله‌های اصلی شروع به کاهش می‌کند که این امر با توجه به رابطه دبای-شرر بیانگر افزایش اندازه بلورکها می‌باشد.



شکل (۲) الگوهای پراش اشعه X برای نمونه‌های S1-S4

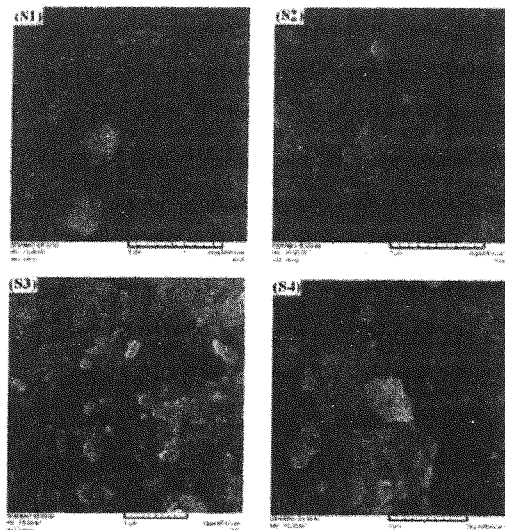
در شکل (۳) میزان تغییرات اندازه ذرات مگنتیت بر حسب میزان NaOH (که از رابطه دبای-شرر محاسبه شده است) آمده است.

همان طور که دیده می‌شود، این ذرات تقریباً به صورت ذرات مجزای کامل دیده می‌شوند. همان طور که بیان شد با کاهش اندازه ذرات، نسبت سطح به حجم ذرات افزایش یافته و در نتیجه نیروی جاذبه بین ذرات افزایش می‌یابد که حاصل آن ایجاد آگلomerهای شدیدی است که آنها به صورت خوش‌ای عمل می‌کند که افزایش این آگلomerهای باعث افزایش دمای blocking temperature ذرات می‌گردد [۱۷-۱۹]. یک نکته جالب در تصاویر TEM نمونه‌ها آن است که مورفولوژی آنها برخلاف سایر مقالات به صورت کروی نمی‌باشد بلکه به صورت هشت‌وجهی (Octahedral) است که در نوع خود جالب و کم‌نظیر است. شایان ذکر است که در تصاویر TEM نیز، افزایش ذرات سنتزشده با افزایش میزان NaOH قابل مشاهده است که این موضوع پیشتر توسط آنالیزهای XRD و SEM در دور ۴۵۰ rpm ثابت شده بود. نمودار شکل (۷) میزان تغییرات اندازه ذرات در دور ۴۵۰ rpm با میزان NaOH را با نمونه‌های سنتز شده در دور ۷۵۰ rpm نشان می‌دهد. همان طور که از شکل مشخص است، هرچه ذرات در دور بالاتر سنتز شوند دارای ذرات ریزتری خواهند بود، یعنی در این تحقیق ذرات سنتزشده در دور ۷۵۰ rpm دارای ذرات ریزتری نسبت به ذرات سنتزشده در دور ۴۵۰ rpm می‌باشند.

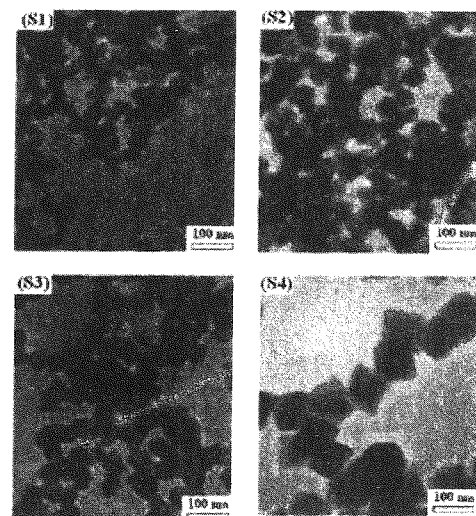


شکل (۷) مقایسه تغییرات اندازه ذرات سنتزشده در دورهای ۷۵۰ و ۴۵۰ rpm.

تغییرات سطح ویژه نانوذرات سنتزشده در دورهای ۷۵۰ و ۴۵۰ بر حسب غلظت NaOH در شکل (۸) نشان داده شده است. همان طور که پیشتر نیز نشان داده شد با افزایش غلظت هیدروکسید سدیم و یا به عبارت دیگر افزایش اندازه ذرات سطح ویژه آنها کاهش می‌یابد که این موضوع یک امر بدیهی است.



شکل (۵) تصاویر SEM مربوط به نمونه‌های S1-S4 در ۷۵۰ rpm همان طور که از تصاویر مشخص است، ذرات به شدت آگلomerه شده‌اند. در حقیقت با کاهش اندازه ذرات، نسبت سطح به حجم ذرات افزایش یافته و در نتیجه نیروی جاذبه بین آنها افزایش پیدا می‌کند که حاصل آن ایجاد آگلomerهای شدیدی می‌باشد، که این آگلomerهای می‌تواند دلیلی بر کوچکی زیاد ذرات سنتز شده باشد. پس در نتیجه همان طور که گفته شد این آگلomerهای از تجمع ذرات بسیار ریزی تشکیل شده‌اند که در اصطلاح با یکدیگر جوش سرد (Cold welded) خورده‌اند. گفتنی است در تصاویر اندازه برشی ذرات مشخص گشته‌اند که اندازه ذرات به دست آمده از تصاویر SEM نتایج به دست آمده از آنالیز XRD را که با افزایش میزان NaOH اندازه ذرات سنتز شده افزایش پیدا می‌کند را تایید می‌نماید. شکل (۶) تصاویر مربوط به TEM نمونه‌های سنتزشده در دور ۷۵۰ rpm نشان می‌دهد.



شکل (۶) تصاویر TEM مربوط به نمونه‌های سنتزشده در ۷۵۰ rpm.

نتایج نشان می‌دهد که وادارندگی به میزان بسیار زیادی به اندازه ذرات وابسته است. ثابت شده است که دو عامل شکل ذرات و خلوص مواد بر وادارندگی تاثیر می‌گذارد. اثر شکل ذرات که به آنیزوتروپی شکلی معروف است، در نتیجه میدان مغناطیسی خارجی بر ذرات مغناطیسی است. گفته می‌شود که ذرات کروی آنیزوتروپی شکلی ندارند. همچنین وجود ناخلالصی می‌تواند به عنوان مانعی در برابر چرخش حوزه‌ها عمل کند و سختی مغناطیسی را افزایش دهد که به آن پینینگ (pinning) مغناطیسی می‌شود. در نمونه‌هایی که اندازه ذرات مگنتیت بیشتر از پهتای دیواره دومین‌ها باشد در نتیجه پدیده کاهش وادارندگی با افزایش اندازه ذرات به علت حرکت دیواره حوزه‌ها می‌باشد. وقتی دیواره‌های حوزه‌ها در طول نمونه شروع به حرکت می‌کنند، این حوزه‌ها می‌توانند در مرزدانه‌ها قفل شوند. در نتیجه انرژی اضافه تری نیاز است تا این دومین‌ها را به حرکت درآورد. قفل شدنگی یکی از منابع اصلی وادارندگی می‌باشد. از آنجا که وادارندگی با اندازه ذرات رابطه دارد و با توجه به اندازه ذرات، از معادلات مختلفی استفاده می‌شود، با استفاده از رابطه (۳) اندازه ذرات به دست می‌آید:

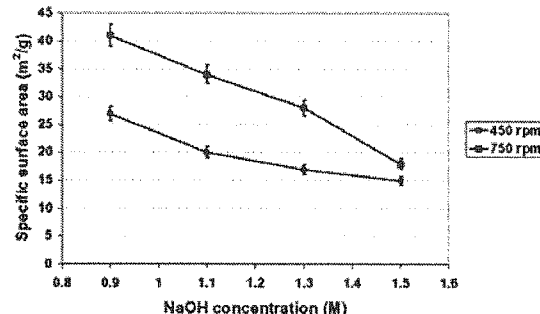
$$d_{ex} = \sqrt{\frac{A}{K}} \quad (3)$$

که در رابطه A به سفتی تبادلی مربوط می‌گردد، K ثابت ناهمسانگردی موثر می‌باشد و d_{ex} اندازه ذرات می‌باشد. با توجه به پارامترهای مربوط به مگنتیت که در این تحقیق به کار رفته است یعنی

$K=1.35 \times 10^4 \text{ J/m}^3 \cdot A=10^{-11} \text{ J/m}$
در نتیجه با جایگذاری اعداد یاد شده در رابطه (۳) این مقدار برای مگنتیت در نزدیک به 27 nm محاسبه می‌گردد. زیرا این مگنتیت با چنین اندازه‌های دیگر خاصیت فرم‌مغناطیس نداشته و تبدیل به سوپر پارامغناطیس می‌شود و در نتیجه برای محاسبه وادارندگی آنها از رابطه (۴) استفاده شد.^[۲۲]

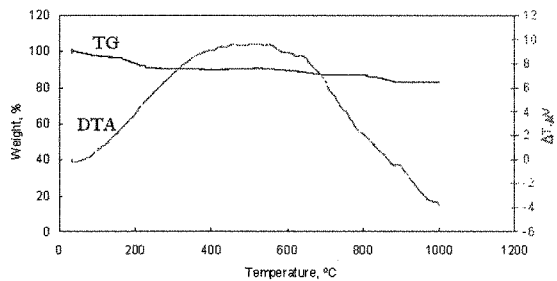
$$H_C = P \frac{K^4 d^6}{J_S A} \propto d^6 \quad (4)$$

در چگالی انرژی تبادلی و P فاکتور ثابت می‌باشد. در نمودار شکل (۱۱) رابطه اندازه ذرات با میزان مغناطیس اشبع نشان داده شده است. همان طور که دیده می‌شود، با افزایش اندازه ذرات، میزان مغناطیش اشبع (M_s) افزایش کاهش می‌یابد. نتایج نشان می‌دهد که مغناطیش اشبع به میزان بسیار زیادی به اندازه ذرات وابسته است. مغناطیش اشبع در دمای اتاق با کاهش اندازه ذرات (d) به شدت کاهش می‌یابد.



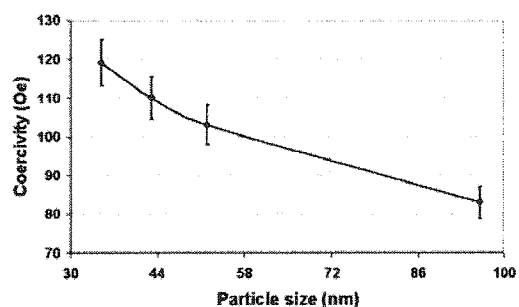
شکل (۸) تغییرات سطح ویژه ذرات در دوره‌ای مختلف برحسب میزان NaOH

شکل (۹) نمودار مربوط به آنالیز حرارتی نمونه S1 را نشان می‌دهد. با توجه به شکل دو ناحیه تغییرات وجود دارد. اولین تغییر در ناحیه دمایی در محدوده $150\text{--}180^\circ\text{C}$ می‌باشد که ناشی از تبخیر آب جذب شده توسط نانوذرات است که از محیط جذب کرده‌اند. دومین ناحیه در محدوده دمایی $800\text{--}900^\circ\text{C}$ است که دارای مقداری شبیه در نمودار TG می‌باشد که مربوط به دمای کوری (T_c) ذرات مگنتیت است [۱۸]. همچنین از آنجا که آنالیز حرارتی نمونه مگنتیت در اتمسفر گاز آرگون صورت گرفت، در نتیجه قله‌هایی در محدوده‌های دمایی به ترتیب $250\text{--}300^\circ\text{C}$ ناشی از تبدیل مگنتیت به هماتیت ($\alpha\text{-Fe}_2\text{O}_3$) (خود یک ماده آتشی فری مغناطیس است)، دیده نمی‌شود.



شکل (۹) نمودار مربوط به آنالیز حرارتی نمونه S1

شکل (۱۰) رابطه اندازه ذرات با میزان وادارندگی را بیان می‌کند. همان طور که از شکل مشخص است با افزایش اندازه ذرات میزان وادارندگی کاهش می‌یابد.



شکل (۱۰) رابطه وادارندگی با اندازه ذرات

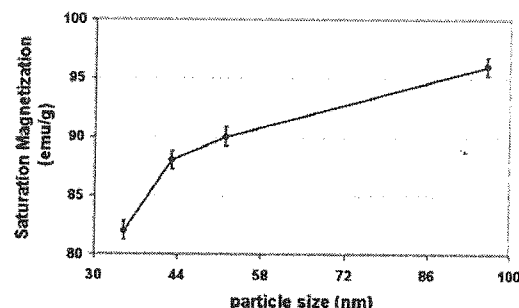
همان طور که در شکل مشخص است، تنش برشی دینامیک یک رابطه نزدیک به خطی با سرعت کرنش برشی در سرعت‌های برشی پایین‌تر دارد، که این پدیده می‌تواند به وسیله معادله بینگهام بیان شود. تنش برشی به طور پیوسته با افزایش سرعت برشی افزایش می‌یابد. گفتنی است که در سرعت‌های برشی بالاتر انحراف از رابطه خطی یاد شده دیده شد که این موضوع به علت رفتار فروسیال‌ها است. ویسکوزیته پایدار فروسیال‌ها که از شبیب نمودار تنش-کرنش محاسبه می‌گردد، با افزایش سرعت برشی شروع به کاهش می‌کند. این یک مشخصه سیالاتی است که از خود رفتار نشان می‌دهد.

۵- نتیجه

در این تحقیق سنتز نانوذرات فرومغناطیسی مگنتیت به روش همرسوبی شیمیایی با موفقیت انجام شد. نانوذرات سنتز شده توسط روش‌های مختلفی مورد ارزیابی قرار گرفتند که نتایج نشان دادند که با افزایش میزان NaOH و همچنین با افزایش میزان دور در فرایند سنتز، نانوذرات به دست آمده دارای اندازه‌های بزرگتری می‌باشند. با افزایش اندازه ذرات خواص مغناطیسی نمونه‌ها شامل وادارندگی و مغناطش اشباع به ترتیب کاهش و افزایش داشتند. و در پایان نمونه‌ها در سرعت‌های برشی بالاتر رفتار shear thinning از خود نشان دادند.

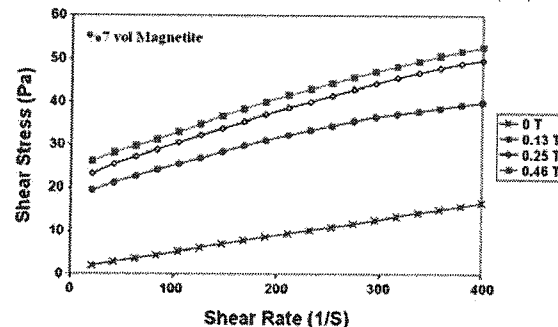
۶- قدردانی

نویسنگان مقاله حاضر بر خود لازم می‌دانند که از تلاش‌های بی دریغ و کمک‌های مفید آقای مهندس حسین اسلامی تشکر نمایند.



شکل (۱۱) رابطه مغناطش اشباع با اندازه ذرات

بررسی خصوصیات فروسیال‌ها تحت جریان برشی و میدان مغناطیسی، یک افزایش ویسکوزیته را با افزایش شدت میدان مغناطیسی از خود نشان می‌دهد (اثر مگنتوویسکوز) و همچنین یک کاهش در ویسکوزیته با افزایش سرعت برشی را نیز از خود نشان می‌دهند (Shear thinning) [23]. علت پدید آمدن این نتایج به نظر می‌رسد که ایجاد ساختارهایی در فروسیال با افزایش شدت میدان مغناطیسی و شکسته شدن این ساختارها در سرعت‌های برشی بالا باشد. نتایج نشان داد که ویسکوزیته فروسیال‌ها تابعی از شدت میدان مغناطیسی است. تغییرات تنش برشی با سرعت برشی (رثولوژی) نمونه S1 در شکل (۱۲) نشان داده شده است.



شکل (۱۲) تغییرات تنش برشی با سرعت برشی نمونه S1

۷- مراجع

- V.S. Zaitsev, D.S. Filimonov, I.A. Presnyakov, R.J. Gambino, B. Chu, J. Colloid Interface Sci. 212 (1999) 49. [۱]
- S. Lian, Z. Kanga, E. Wang, M. Jiang, C. Hu, L. Xu, Solid State Commun. 127 (2003) 605. [۲]
- Y.K. Sun, M. Ma, Y. Zhang, N. Gu, Synthesis of nanometer-size maghemite particles from magnetite; Colloid Surfact. A 245 (2004) 15. [۳]
- P. Todd, R. Cooper, J. Doyle, S. Dunn, J. Vellinger, M. Deuser, J. Magn. Magn. Mater. 255 (2001) 294. [۴]
- S. Chen, J. Feng, X. Guo, J. Hong, W. Ding, Mater. Letter 59 (2005) 985. [۵]
- D.S. Bae, K.S. Han, S.B. Cho, S.H. Choi, Mater. Letter 37 (1998) 255. [۶]
- W. Pei, H. Kumada, T. Natusme, H. Saito, S. Ishio, J. Magn. Magn. Mater. 310 (2007) 2375. [۷]
- X. Ni, X. Su, H. Zheng, D. Zhang, D. Yang, Q. Zhao, J. Cryst. Growth 275 (2005) 548. [۸]
- H. Kind, H.Q. Yan, B. Messer, M. Law, P.D. Yang, Adv. Mater. 14 (2002) 158. [۹]
- T. Hyeon, S.S. Lee, J. Park, Y. Chung, H.B. Na, J. Am. Chem. Soc. 123 (2001) 12798. [۱۰]
- R.S. Molday, D. Mackenzie, J. Immunol. Meth. 52 (1982) 353. [۱۱]
- Y.J. Lee, J.W. Lee, C.J. Bae, J.G. Park, H.J. Noh, J.H. Park, T. Hyeon, Adv. Funct. Mater. 15 (2005) 503. [۱۲]
- L. Levy, Y. Sahoo, K.S. Kim, E.J. Bergey, P.N. Prasad, Chem. Mater. 14 (2002) 3715. [۱۳]
- S. Lian, E. Wang, Z. Kang, Y. Bai, L. Gao, M. Jiang, C. Hu, L. Xu, Solid State Commun. 129 (2004) 485. [۱۴]

- Y.Wengguang,T.Zhang, J. Zhang, Mat.Lett., 60 (2006)2998. [٢٠]
- I.Martinez-Mera, M.Espinosa, R.Perez- Hernandez, Mat.Lett., 20(2007)364. [٢١]
- S. Dutz, R. Hergt, J. Murbe, R. Muller, M. Zeisberger, W. Andra, J. Topfer, M.E. Bellemann, J. Magn. Magn. Mater. 308 (2007) 305. [٢٢]
- J.C. Bacri, R. Perzynski, D.S.V. Cabuil, R. Massart, J. Magn. Magn. Mater. 85 (1990) 27. [٢٣]
- J. Mürbe, A. Rechtenbach, J. Topfer, Mater. Chem. Phys. 110 (2008) 426. [٢٤]
- D.H. Kim, S.H. Lee, K.H. Im, K.N. Kim, K.M. Kim, I.B. Shim, M.H. Lee, Y. Lee, Current Appl. Phys. 6 (2006) e242. [٢٥]
- M. Ma, Y. Wu, J. Zhou, Y. Sun, Y. Zhang, N. Gu, J. Mag. Mag. Mater. 268 (2004) 33. [٢٦]
- S. Lian, Z. Kanga, E. Wang, M. Jiang, C. Hu, L. Xu, Solid State Commun. 127 (2003) 605. [٢٧]
- D.Kim,Y. Zhang,W.voit, J.Mag.Mat.225(2001)30. [٢٨]